

# Offline Bewegungsplanung: Reine Translation

Elmar Langetepe  
University of Bonn

## Folgerungen!! Theorem 2.16

- Konvexer Roboter  $R$  mit  $|R| = m$ , polygonale Szene,  $n$  Kanten
- Komplexität von  $C_{\text{verb}}$  in  $O(mn)$ , Beweis!!
- Trianguliere alle  $P_j$ ,  $T_1, T_2, \dots, T_l$  mit  $O(n)$  Kanten
- $CT_i = T_i \oplus -R(0, 0)$  Familie von Pseudokreisen Lem. 2.12,  $O((m + 3)n)$  Kanten Lem. 2.15

$$C_{\text{verb}} = \underbrace{\bigcup_i T_i \oplus -R(0, 0)}_{\text{Komplexität } O(mn)}.$$

Benutze Theorem 2.13

## Folgerungen!! Theorem 2.16

- Algorithmus 2.2: Berechnung von  $C_{\text{verb}}$  ■
  - Unterteile Hindernisse in gleichgroße Teilmengen von Dreiecken  $CP_1$  und  $CP_2$  ■
  - Berechne rek.  $C_{\text{verb}}(CP_1)$  und  $C_{\text{verb}}(CP_2)$ , je  $O(mn)$  Kanten ■
  - Berechne Vereinigung  $C_{\text{verb}}(CP_1) \cup C_{\text{verb}}(CP_2)$  in Zeit  $O(mn \log(mn))$  mit Sweep (Alg. Geom.) ■

Laufzeit insgesamt:  $O(mn \log^2 mn)$  ■

# Laufzeitanalyse: Theorem 2.16

Arrangement mit  $O(nm)$  Kanten!!

$$T(m, n) \leq 2T\left(m, \frac{n}{2}\right) \text{ (Rek.)} + C \times mn \log mn \text{ (Merge)}$$

$$\leq 2\left(2T\left(m, \frac{n}{4}\right) + C\frac{mn}{2} \log \frac{mn}{2}\right) + C \times mn \log mn$$

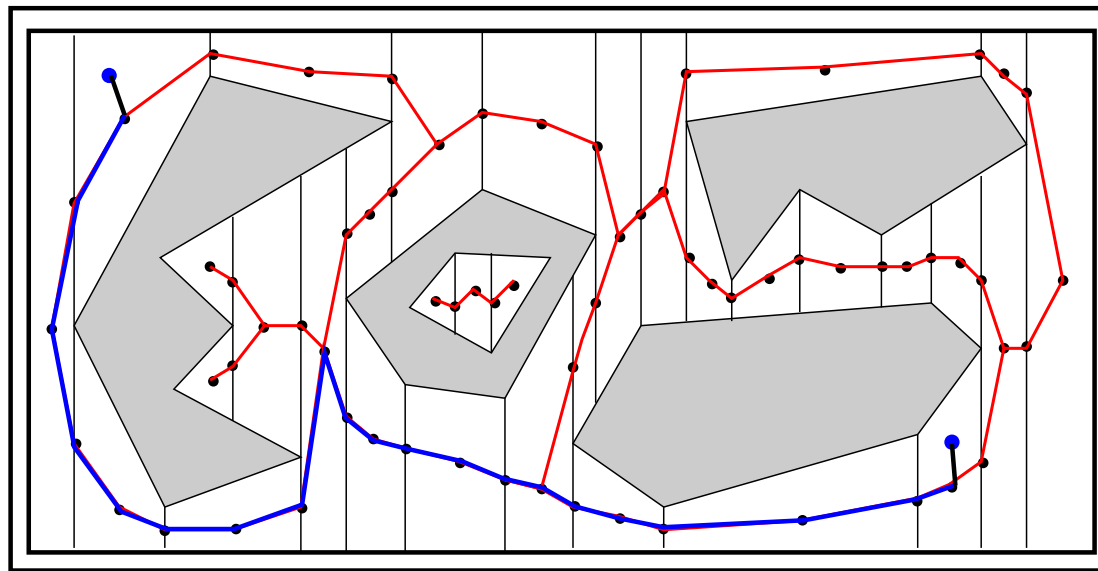
$$\vdots$$

$$\leq nT(m, 1) + Cmn \sum_{i=0}^{\log n} \log \frac{mn}{2^i}$$

$$\in O(mn \log^2 mn)$$

# $C_{\text{frei}}$ verwenden! Roadmap!!

- Zerlegung in Trapezen (Seidel) ■
- ● Benachbarte Trapeze verbinden (Schwerpunkt/Mittelpunkt) ■
- Zusammenhangsgraph, Roadmap ■
- Lokalisation  $s$  und  $t$  und verbinden (BFS) ■



## Algorithmus 2.3: $C_{\text{frei}}$ gegeben!

### Vorbereitung: ■



- Trapezzerlegung  $C_{\text{frei}}$ /Point-Location Struktur, (randomisiert!!)  $O(mn \log(mn))$  ■
- Roadmap-Konstruktion: Verbindung adjazenter Trapeze,  $O(mn)$

### Query: ■

- Lokalisierere  $s$  und  $t$  Trapeze,  $O(\log(mn))$  ■
- Finde Weg der Trapeze mit BFS,  $O(mn)$  ■

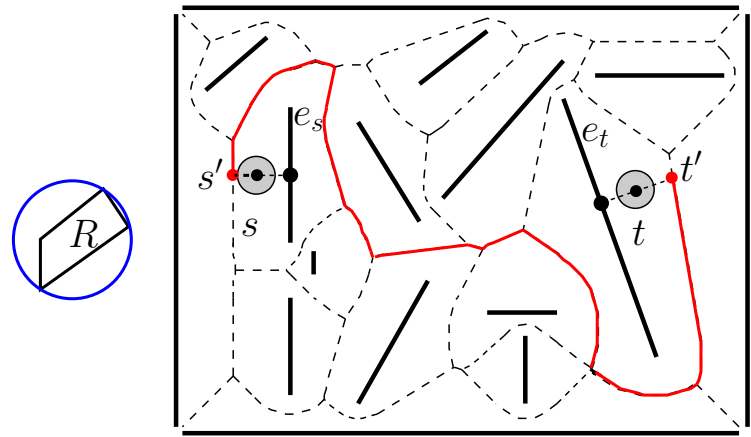
Roadmap!! Einfach aber effizient!! ■ Probabilistisch! ■

## Ergebnis: Theorem 2.17

Translationsbewegungen eines konvexen, polygonalen Roboters mit  $m$  Ecken in einer Umgebung mit polygonalen Hindernissen mit insgesamt  $n$  Ecken können nach  $O(mn \log^2(mn))$  (randomisierter) Vorbereitungszeit in Zeit  $O(mn)$  geplant werden.■

# Kreisförmiger! Voronoi Diagramme 2.1.1

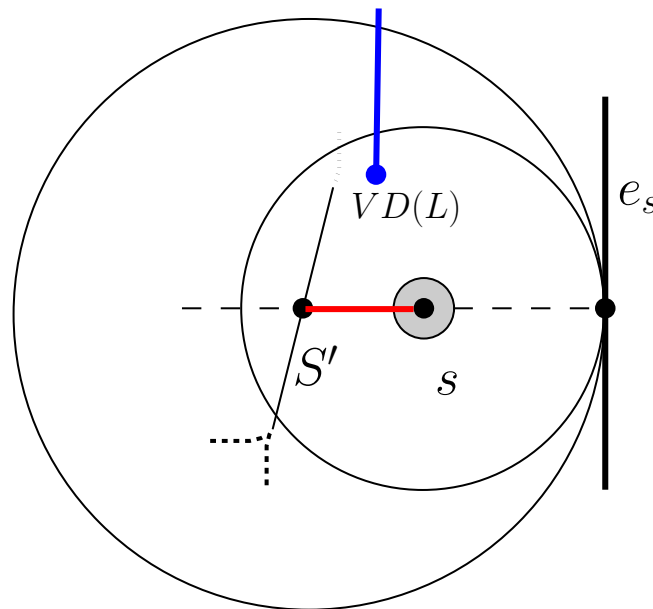
- Verwende kleinsten Kreis um Roboter ■
- Voronoi Diagramm der Segmente der Hindernisse ■
- Weg auf Bisektoren: ■ Möglichst großer Abstand ■





# Start $s'$ kann stets angelaufen werden

- $s$  in Region von  $e_s$ , Kreis frei
- Kürzester Weg zu  $e_s$ , Strahl Richtung Bisector
- Trifft Bisector bei  $s'$ , Weg ist frei!!!



# Algorithmus 2.1: Kreisförmiger Roboter

## Vorbereitung: ■



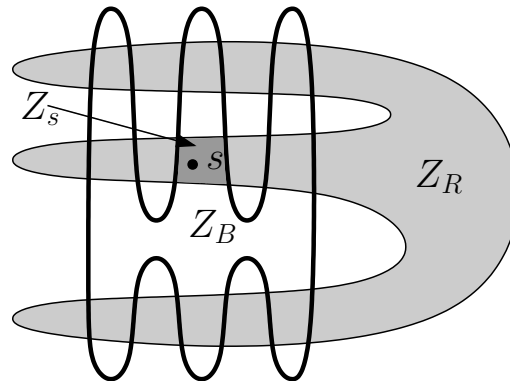
- Konstruiere das Voronoi–Diagramm  $VD(L)$ , Kanten der Hindernisse als Liniensegmente:  $O(n \log n)$  ■
- Point–Location Trapezzerlegung:  $O(n \log n)$  ■

## Query für zwei Punkte $s, t$ : ■

- Lokalisierere  $s, t$  im VD:  $O(\log n)$  ■
- $s$  gehört zu  $e_s$ ,  $t$  gehört zu  $e_t$  ■
- Bestimme mit Strahlen Punkt  $t'$  und  $s'$  auf  $VD(L)$ :  $O(1)$  ■
- Berechne (BFS) in  $VD(L)$  Pfad von  $s'$  nach  $t'$  mit zul. Mindestabstand oder berichte, dass es keinen gibt:  $O(n)$  ■

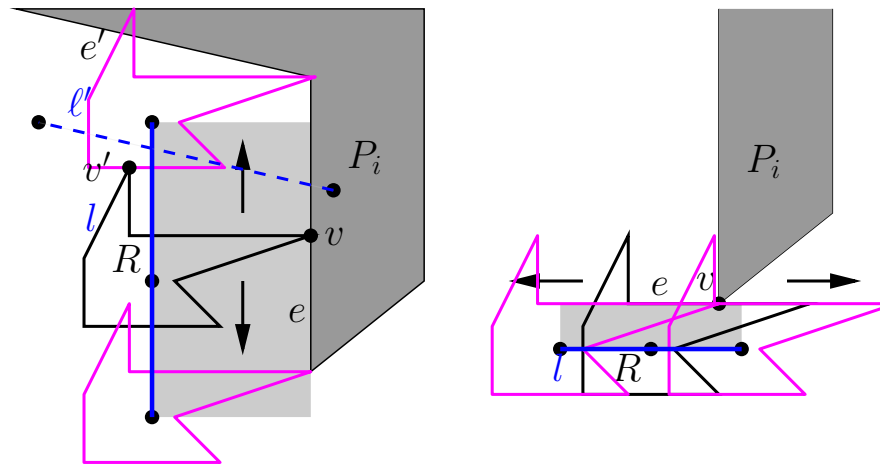
# Kreisförmig, konvex! Beliebiger Roboter!

- Bisher: Divide and Conquer Konfigurationsraum
- Nicht konvex: Komplexität  $\Theta((nm)^2)$
- Merge komplett:  $\Theta((nm)^2)$
- Beobachtung: Zelle  $Z_s$  nicht so komplex??



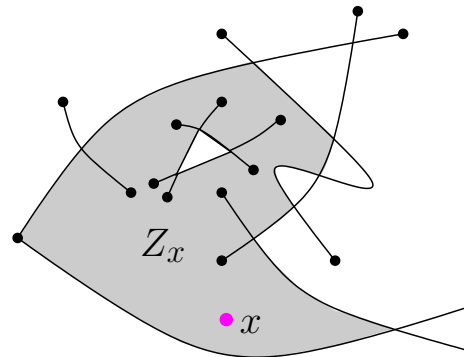
# Begrenzung einer Zelle!!

- Nicht-konvexer Roboter  $R$  mit  $|R| = m$ . Polygonale Szene  $n$  Ecken
- Ecke Roboter, Kante Hindernis
- Ecke Hindernis, Kante Roboter
- $\Theta(mn)$  viele Kanten



# Allgemeiner!!

- Menge von Segmenten
- Je zwei schneiden sich  $s$  mal
- Spezieller Punkt  $x$
- Komplexität der Zelle  $Z_x$



# Fahrplan!!

- Divide and Conquer!!
- Teile Segmente in zwei gleichgroße Mengen  $Z_1, Z_2$
- Berechne  $Z_{1x}$  und  $Z_{2x}$
- Merge zu  $\{Z_1 \cup Z_2\}_x$
- Spezieller Merge wegen Schnitt mit  $x$
- RED BLUE Merge
- Merge: Komplexität des Ergebnisses

# Exkurs: Davenport-Schinzel-Sequenzen

Alphabet  $\Sigma = \{A, B, C, \dots\}$  über  $n$  Buchstaben.■

■ Davenport–Schinzel–Sequenz der Ordnung  $s$ ■

- Wort  $w$  über  $\Sigma$ ■
- in  $w$  keine benachbarten Buchstaben gleich■
- keine zwei verschiedenen Buchstaben wechseln mehr als  $s$  mal ■

Bsp.: ABRAKADABRA; ■ max. 4 Wechsel (A und B) ■

$\lambda_s(n)$  maximale Länge eines solchen Wortes■

# Davenport-Schinzel-Sequenzen: Th. A9

Fast linear!! (Ohne Beweis!)

■

$$\lambda_1(n) = n$$

$$\lambda_2(n) = 2n - 1$$

$$\lambda_3(n) \in \Theta(n \alpha(n))$$

$$\lambda_4(n) \in \Theta(n \cdot 2^{\alpha(n)})$$

$$\lambda_s(n) \in O(n \log^*(n)) \in O(n^2)$$

■

$\alpha(n)$  Inverse Ackermann Fkt. ■

$\log^*(n)$  ■



## Untere Kontur: Def. A10

$f_1, f_2, \dots, f_n$  reellwertige Funktionen, entweder

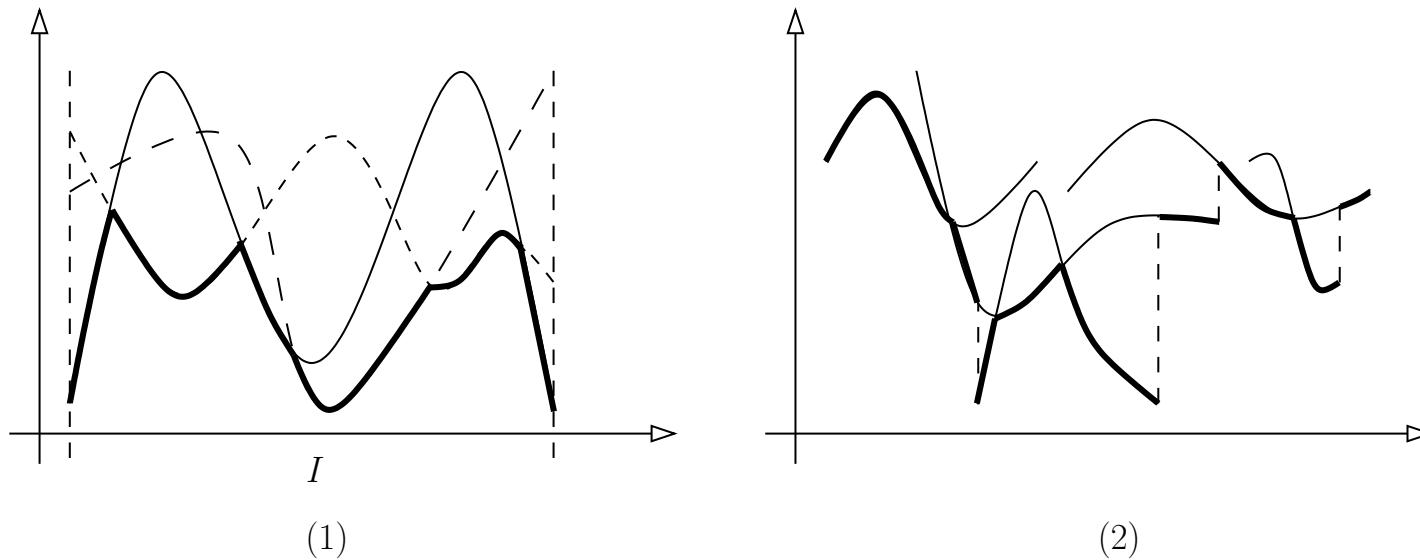
- über einem gemeinsamen Intervall  $I$  oder
- über je einem Intervall  $I_j \subseteq I, 1 \leq j \leq n$ .

Je zwei Funktionen max.  $s$  gemeinsame Schnittpunkte

$$L(x) := \min \{ f_i(x) \mid 1 \leq i \leq n \}$$

Lower envelope der Funktionsgraphen

## Untere Kontur: Th. A12



$L(x)$  besteht aus maximal

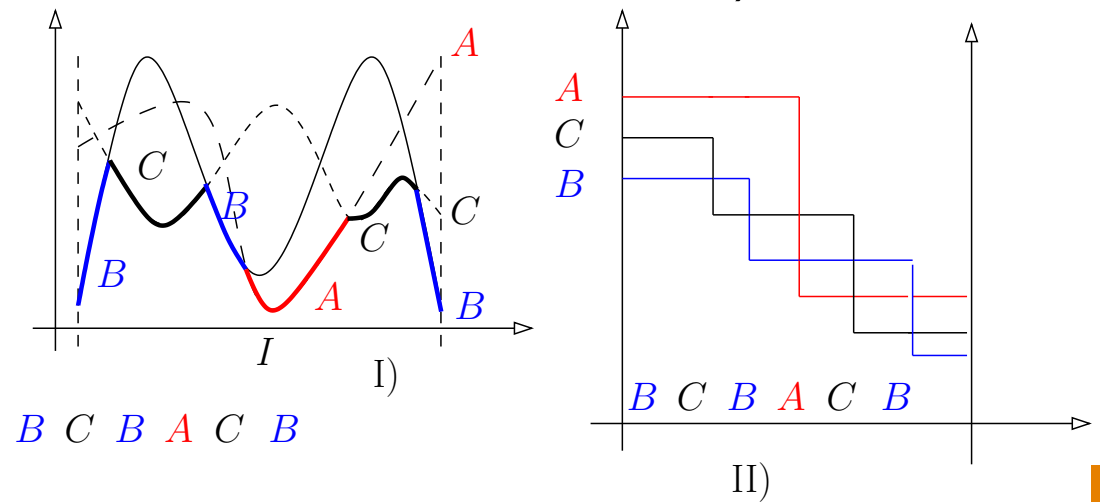
1.  $\lambda_s(n)$
2.  $\lambda_{s+2}(n)$

vielen Teilstücken ■

# Beweis: Th. A12

1.  $\lambda_s(n)$
2.  $\lambda_{s+2}(n)$

1.: I) Übersetzen in Buchst.-folge oder II) Buchst.-folge übersetzen



# Beweis: Th. A12

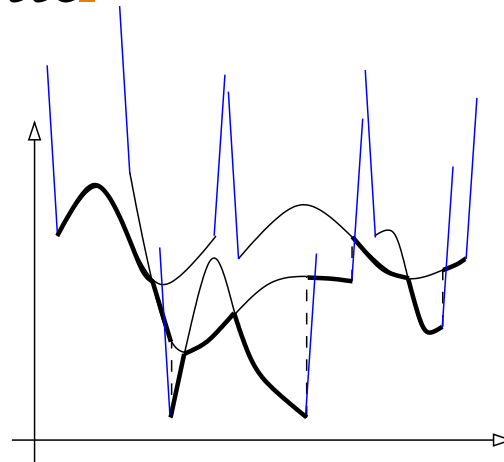
1.  $\lambda_s(n)$

2.  $\lambda_{s+2}(n)$



2. Verlängern auf gesamtes Intervall, dann 1. verwenden

Max zwei zusätzliche Schnitte



(2)



## Zellen: Th. 2.18

A Arrangement von  $n$  Kurvenstücken von denen sich zwei nur  $s$  mal schneiden. Jede Zelle von  $A$  hat Komplexität  $O(\lambda_{s+2}(n))$ .■

Weniger als  $\Omega(n^2)$ !! ■Beweis!!■